



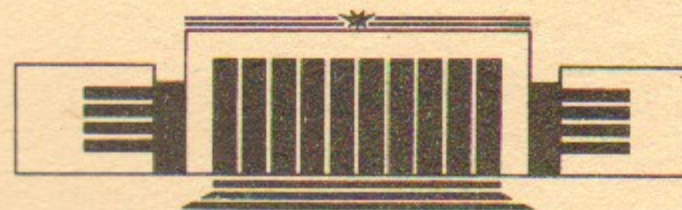
ИНСТИТУТ ЯДЕРНОЙ ФИЗИКИ  
им. Г.И. Будкера СО РАН

Ю.А. Цидулко

УДАЛЕНИЕ ИОНОВ ПРИМЕСИ  
ИЗ ЛОВУШКИ С ДВУХКОМПОНЕНТНОЙ  
ПЛАЗМОЙ  
ПРИ ИХ СТОЛКНОВЕНИИ  
С ИОНАМИ БЫСТРОЙ КОМПОНЕНТЫ



ИЯФ 93-44



НОВОСИБИРСК

# Удаление ионов плазмы из ловушки с двухкомпонентной плазмой при их столкновении с ионами быстрой компоненты

Ю.А. Цидулко

630090 Новосибирск  
Институт ядерной физики

## Аннотация

В работе показано, что при достаточной энергии и интенсивности инъекции быстрых частиц в газодинамическую ловушку, их столкновения с ионами примесей предотвращают накопление последних, связанное с наличием потенциальных барьеров в точках остановки быстрых ионов. Получены формулы, определяющие скорость и эффективность очистки. Приведены результаты численных расчетов для конкретного варианта параметров ловушки.

## ВВЕДЕНИЕ

В ловушке с двухкомпонентной плазмой, рассматриваемой с точки зрения создания генератора нейтронов [1,2,6], ионы быстрой компоненты сосредоточены в относительно малой области питч-углов, поэтому в точках их остановки образуются электростатические барьеры (рис. 1), высота которых по отношению к центру ловушки равна

$$e\varphi^* = T_e \ln(n^*/n) , \quad (1)$$

где  $T_e$  — температура электронов,  $n$  и  $n^*$  — плотность плазмы в центре ловушки и в максимуме пика плотности в области точки остановки. Для ионов примеси с зарядом  $Z > 1$  высота барьера в  $Z$  раз больше. Так как продольное время жизни ионов экспоненциально растет с увеличением высоты потенциального барьера, продольные потери примеси пренебрежимо малы, и возникает проблема их накопления в плазме.

В работе [3] описан механизм удаления примесей для амбиполярной ловушки, работающей в режиме термоядерного реактора: в результате близких столкновений  $\alpha$ -частиц с ионами примеси, последние получают импульс, достаточный для преодоления потенциального барьера.

В настоящей работе мы покажем, что в ловушке с двухкомпонентной плазмой работает аналогичный механизм, где роль  $\alpha$ -частиц выполняют ионы быстрой компоненты. Важным отличием здесь от [3] является то, что после столкновения ион примеси может затормозиться прежде, чем дойдет до потенциального барьера. Это особенно существенно для ионов примеси с зарядом  $Z \gg 1$ . Поэтому мы рассматриваем два случая:

- первый—без учета торможения, когда длина торможения иона примеси  $\lambda_Z \gg L$ , где  $L$  — длина ловушки (точнее, расстояние между потенциальными барьерами);

- второй — с учетом торможения для ионов с зарядом  $Z \gg 1$  (раздел 3).

В разделе 4 мы получим оценку соотношения между плотностями быстрой и холодной компоненты, при котором ионы примеси нагреваются в результате многократных далеких столкновений с быстрыми частицами настолько, что проблема их накопления снимается.

В разделе 5 содержится оценка роли  $\alpha$ -частиц в удалении примесей и обсуждение результатов.

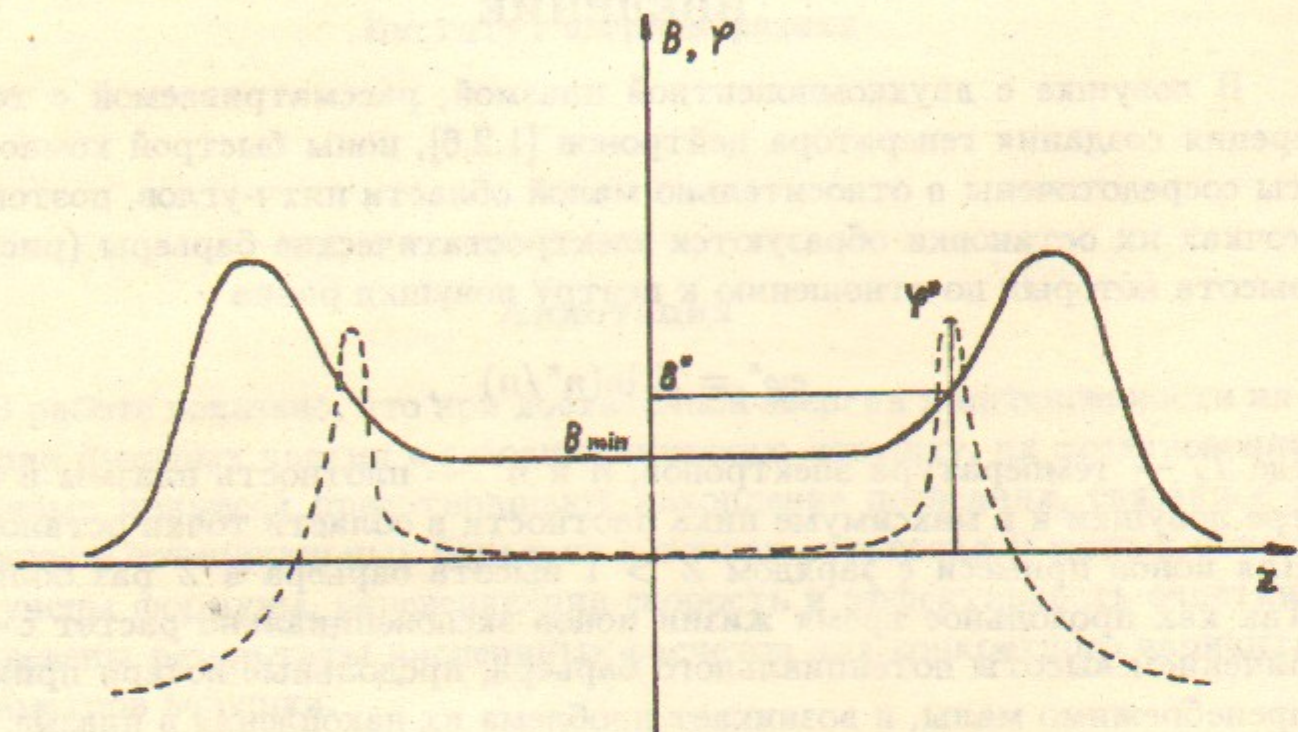


Рис. 1. Схематическое изображение распределения магнитного поля  $B$  (сплошная линия) и амбиполярного потенциала  $\varphi$  (штриховая линия) вдоль оси ловушки.  $R^* = B^*/B_{\min}$  — пробочное отношение в точке максимума потенциала  $\varphi = \varphi^*$ .

### РАСЧЕТ ВРЕМЕНИ ЖИЗНИ ИОНА ПРИМЕСИ В СЛУЧАЕ $\lambda_Z \gg L$

Если известна функция распределения быстрых ионов  $f_F(\vec{v})$ , нормированная на плотность, то можно записать выражение для частоты выбивания примеси с зарядом  $Z$ :

$$\frac{1}{\tau_Z} = \int d\vec{v} d\Omega(\vec{v}, \vec{v}_Z) f_F(\vec{v}) \sigma(\vec{v}, \vec{v}_Z) |\vec{v}| G(\vec{v}) , \quad (2)$$

где  $\sigma(\vec{v}, \vec{v}_Z)$  — дифференциальное сечение рассеяния иона быстрой компоненты на ионах примеси,  $\vec{v}_Z$  — скорость иона после соударения,  $G(\vec{v})$  — функция, определяющая область в пространстве скоростей, попав в которую, ион примеси уходит из ловушки:

$$G(\vec{v}) = \begin{cases} 1, & \text{если ион уходит;} \\ 0, & \text{если остается в ловушке.} \end{cases} \quad (3)$$

Введем следующий набор переменных:

$v, \theta$  — модуль скорости и питч-угол иона быстрой компоненты,  $\psi$  — угол между скоростью иона примеси и скоростью быстрого иона до столкновения,  $\phi$  — азимутальный угол рассеяния иона примеси, отсчитываемый от плоскости, проходящей через вектор скорости быстрого иона  $\vec{v}$  и вектор магнитного поля  $\vec{B}$ , вокруг оси, совпадающей с вектором  $\vec{v}$ .

В этих переменных дифференциал сечения рассеяния имеет вид:

$$\sigma(\vec{v}, \vec{v}_Z) d\Omega = \sigma_1(v, \psi) d\cos(2\psi) d\phi = \\ = \frac{e^4 Z^2}{4} \left( \frac{1}{M_F} + \frac{1}{M_Z} \right)^2 \frac{1}{v^4 \cos^4 \psi} d\cos(2\psi) d\phi ,$$

где  $M_F$  и  $M_Z$  — массы быстрого иона и иона примеси с зарядом  $Z$  (заряд быстрого иона считаем равным единице). Таким образом интеграл (2) принимает вид:

$$\frac{1}{\tau_Z} = 8\pi \int_0^{v_0} dv v^2 \int_0^\pi d\theta \sin(\theta) f_F(v, \theta) \int_0^{\pi/2} d\psi \sin(2\psi) \sigma_1(v, \psi) v \times \\ \times \int_0^\pi d\phi G(v_Z, \theta_Z) . \quad (4)$$

где  $v_Z \equiv v_Z(v, \psi) = \frac{2M_F}{M_F + M_Z} v \cos \psi$  — модуль скорости иона примеси,  $\theta_Z \equiv \theta_Z(\theta, \psi, \phi)$  — питч-угол иона примеси, определяющийся из соотношения:  $\cos \theta_Z = \cos \theta \cos \psi + \sin \theta \sin \psi \cos \phi$ ;  $v_0$  — скорость инжектируемых быстрых частиц.

Известно (см., например, [2]), что в ГДЛ за амбиполярным барьером к пробке идет быстрый спад потенциала, так что, практически, все ионы холодной компоненты, преодолевшие барьер (предполагается, что барьер достаточно узкий и высокий [6]), недерживаются пробкой и уходят из

ловушки. Это, тем более, верно для ионов с зарядом  $Z > 1$ . Поэтому условие ухода иона примеси из ловушки можно записать в следующем виде:

$$\sin^2 \theta_Z \leq \frac{1}{R^*} \left( 1 - \frac{2Ze\varphi^*}{M_Z v_Z^2} \right) ,$$

где  $R^*$  — пробочное отношение в точке максимума потенциала  $\varphi^*$ . Таким образом

$$G(v_Z, \theta_Z) = \begin{cases} 1, & \text{если } \sin^2 \theta_Z \leq \frac{1}{R^*} \left( 1 - \frac{2Ze\varphi^*}{M_Z v_Z^2} \right) ; \\ 0, & \text{если } \sin^2 \theta_Z > \frac{1}{R^*} \left( 1 - \frac{2Ze\varphi^*}{M_Z v_Z^2} \right) . \end{cases}$$

Введем переменную  $\nu = v_m/v$ , где

$$v_m = \left( \frac{1}{M_F} + \frac{1}{M_Z} \right) \sqrt{M_Z Ze\varphi^*/2}$$

минимальная скорость быстрого иона, при которой он может “выбить” ион примеси из потенциальной ямы (при движении вдоль оси ловушки и лобовом столкновении). Обозначив  $x = \cos \psi$ , вычислим последний интеграл в (4)

$$Y(\nu, \theta, x) = \int_0^\pi G(v_Z, \theta_Z) d\phi = \arccos P^+ + \arccos P^- ,$$

где

$$P^\pm = \operatorname{ctg} \theta \frac{-x^2 \pm \sqrt{x^2 + \nu^2 \operatorname{tg}^2 \theta + (\sin^2 \theta - 1/R^*)(x^2 - \nu^2)/\cos^2 \theta}}{x\sqrt{1-x^2}} , \quad (5)$$

а значение арккосинуса лежит в пределах от 0 до  $\pi$  и считается равным нулю, если модуль аргумента больше единицы. Тогда

$$\begin{aligned} \frac{1}{\tau_Z} &= 4\pi e^4 Z^2 \left( \frac{1}{M_F} + \frac{1}{M_Z} \right)^2 \times \\ &\times \int_{\nu_0}^1 \frac{d\nu}{\nu} \int_0^\pi d\theta \sin \theta f_F(v_m/\nu, \theta) \int_0^1 \frac{dx}{x^3} Y(\nu, \theta, x) , \end{aligned} \quad (6)$$

где  $\nu_0 = v_m/v_0$ .

Предполагая, что ионы быстрой компоненты, инжектируемые со скоростью  $v_0$  под углом  $\theta^*$ , не успевают существенно рассеяться по углу, тормозясь на электронах до скорости  $v_m$ , можно записать их функцию распределения в виде [1]:

$$f_F(v, \theta) = \frac{S_F \tau_e}{2\pi \sin \theta^* v^3} \delta(\theta - \theta^*) ,$$

где  $S_F$  — количество частиц, инжектируемых за единицу времени в единицу объема,  $\tau_e = \frac{3M_F T_e^{3/2}}{4\sqrt{2\pi m_e \Lambda} n_e e^4}$ .

Теперь выражение для обратного времени жизни мы можем записать в виде:

$$\frac{1}{\tau_Z} = \frac{3S_F}{\Lambda Z(1 + M_F/M_Z)n_e} \left( \frac{M_F}{\pi m_e} \right)^{1/2} \left( \frac{M_F Z T_e}{M_Z e \varphi^*} \right)^{3/2} F_1(\nu_0, \theta^*) , \quad (7)$$

где

$$F_1(\nu_0, \theta^*) = \int_{\nu_0}^1 d\nu \nu^2 \int_0^1 \frac{dx}{x^3} Y(\nu, x, \theta^*) .$$

Чтобы найти минимальную энергию инжекции, при которой  $F_1(\nu_0, \theta^*) \neq 0$ , пренебрежем сдвигом максимума потенциала от точки остановки частиц с питч-углом  $\theta^*$  (сдвиг связан с рассеянием ионов быстрой компоненты). Тогда  $1/R^* = \sin^2 \theta^*$ , что упрощает выражение (5):

$$P^\pm(\nu, x, \theta) = \frac{-x^2 \pm \sqrt{x^2 + \nu^2 \operatorname{tg}^2 \theta}}{\operatorname{tg} \theta x \sqrt{1-x^2}} . \quad (8)$$

Границы области по  $x$ , где функция  $Y(\nu, x, \theta^*)$  отлична от нуля, определяются уравнением  $P^\pm = 1$ , что эквивалентно:

$$\nu^2(x, \theta) = \operatorname{ctg}^2 \theta [( \operatorname{tg} \theta x \sqrt{1-x^2} + x^2 )^2 - x^2]$$

(граница области, где  $Y \neq 0$  качественно изображена на рис. 2). Отсюда легко определить максимальное значение  $\nu_b(\theta)$ , при котором  $F_1(\nu_b, \theta)$  обращается в ноль:

$$\nu_b = \nu(x_b(\theta), \theta) ,$$

где  $x_b(\theta)$  — решение уравнения

$$(\operatorname{tg} \theta \sqrt{1-x^2} + x) \left( \frac{\operatorname{tg} \theta (1-2x)}{\sqrt{1-x^2}} + 2x \right) = 1 ,$$

лежащее в пределах от 1 до  $\cos 2\theta^*$  (значение  $\nu_b$  соответствует такому радиусу сферы на рис. 2, при котором она касается гиперболоида). График зависимости  $\nu_b$  от  $\theta$  приведен на рис. 3.

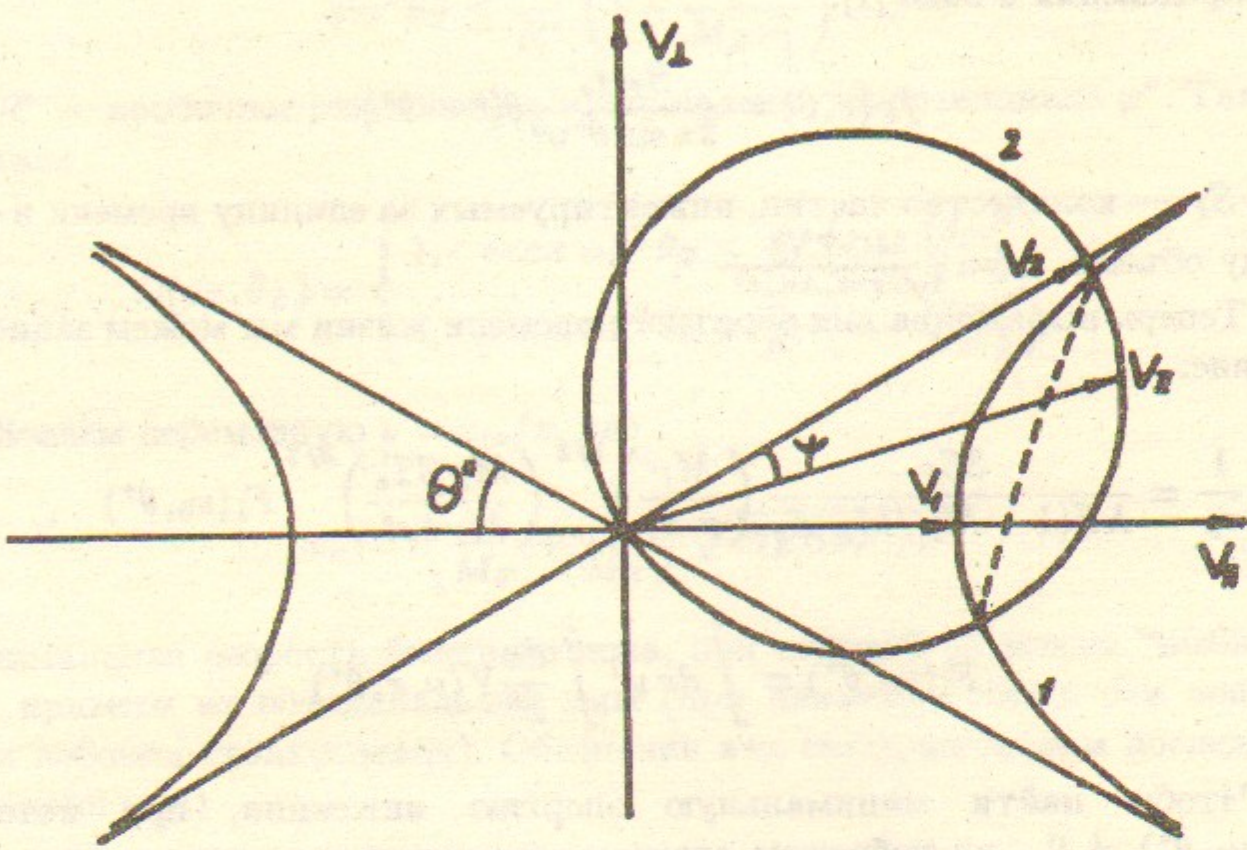


Рис. 2. 1 — гиперболоид вращения — граница конуса потерь;  $v_1 = 2M_F/(M_F + M_Z)v_m$  — минимальная продольная скорость иона примеси, необходимая для ухода из ловушки; 2 — сфера диаметром  $v_2$ , на которой лежат концы векторов скоростей ионов примеси  $\vec{v}_Z$  после соударения с ионом быстрой компоненты, имевшим скорость  $\frac{M_F + M_Z}{2M_F}v_2$  и питч-угол  $\theta^*$ . Штриховая линия, линия пересечения гиперболоида 1 и сферы 2, ограничивает область углов, угла рассеяния  $\psi$  и азимутального угла  $\phi$ , при которых ион примеси уходит из ловушки.

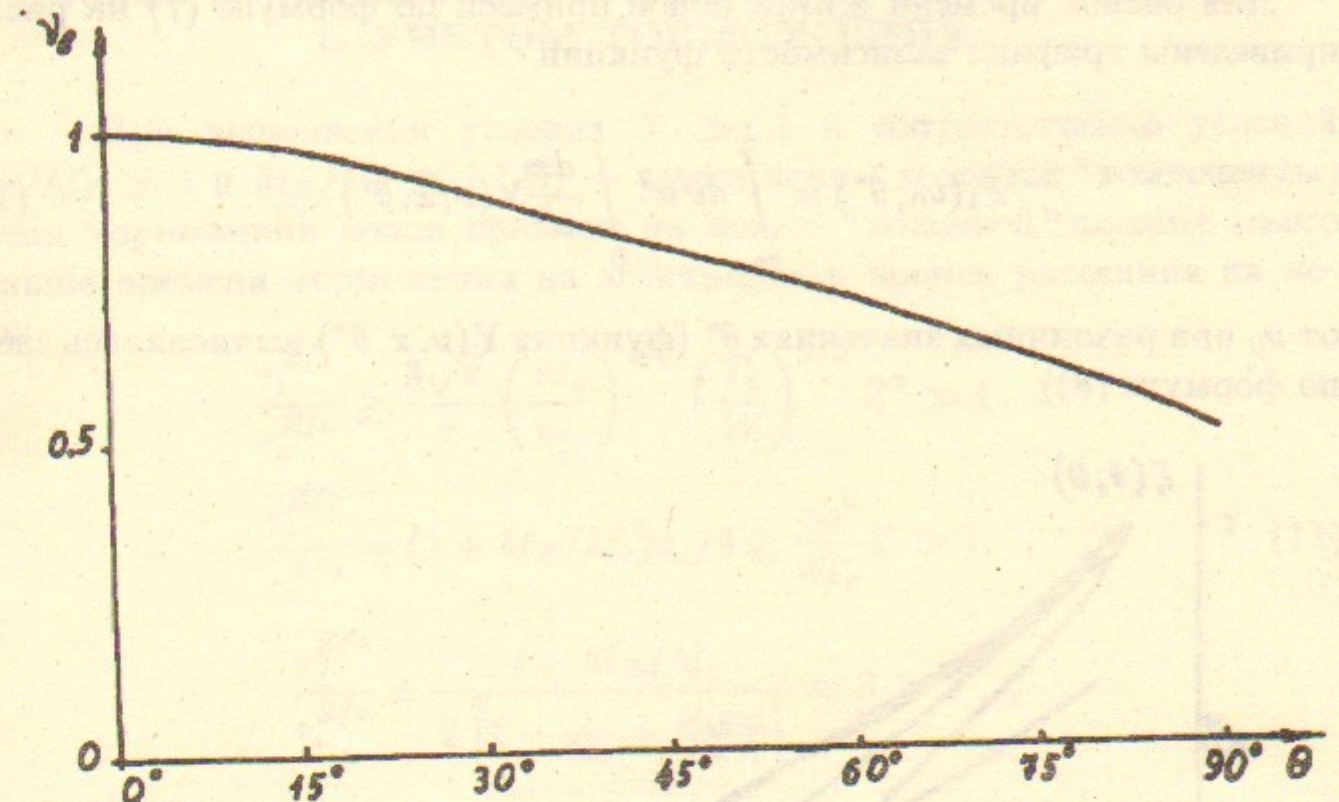


Рис. 3. Зависимость параметра  $\nu_b = v_m/v$  от  $\theta$ , при котором функции  $F_1(\nu_b, \theta)$  и  $F_2(\nu_b, \theta)$  обращаются в ноль.

Таким образом минимальная энергия инжекции, при которой возможно выбивание примеси равна:

$$W_{min} = \frac{M_F v_m^2}{2\nu_b^2(\theta^*)} = (1 + M_F/M_Z)^2 \frac{M_Z Ze\varphi^*}{4M_F \nu_b^2(\theta^*)}, \quad (9)$$

или при заданной энергии инжекции  $W$

$$Z_{max} \approx \nu_b(\theta^*) \sqrt{\frac{6W}{e\varphi^*}} - \frac{3}{2}$$

(здесь, полагая, что  $M_F$  — масса трития, использовано приближенное соотношение:  $M_Z \approx \frac{2}{3}ZM_F$  для  $Z \gg 1$ ). Для типичных параметров ловушки [6]  $W/e\varphi^* \approx 100$ ,  $\theta^* \approx 30^\circ$  возможно выбивание ионов примеси с  $Z \leq 20$ .

Заметим, что описанный выше способ вычисления частоты выбивания примеси справедлив, если за время пролета вдоль ловушки ион примеси не успевает испытать несколько близких столкновений, т.е. если  $v_Z \tau_Z / L \gg 1$ . Для параметров ловушки, приведенных в [6]  $v_Z \tau_Z / L \geq 400 \cdot Z$ .

Для оценок времени жизни ионов примеси по формуле (7) на рис. 4 приведены графики зависимости функции

$$F_1(\nu_0, \theta^*) = \int_{\nu_0}^1 d\nu \nu^2 \int_0^1 \frac{dx}{x^3} Y(\nu, x, \theta^*) . \quad (10)$$

от  $\nu_0$  при различных значениях  $\theta^*$  (функция  $Y(\nu, x, \theta^*)$  вычислялась здесь по формуле (8)).

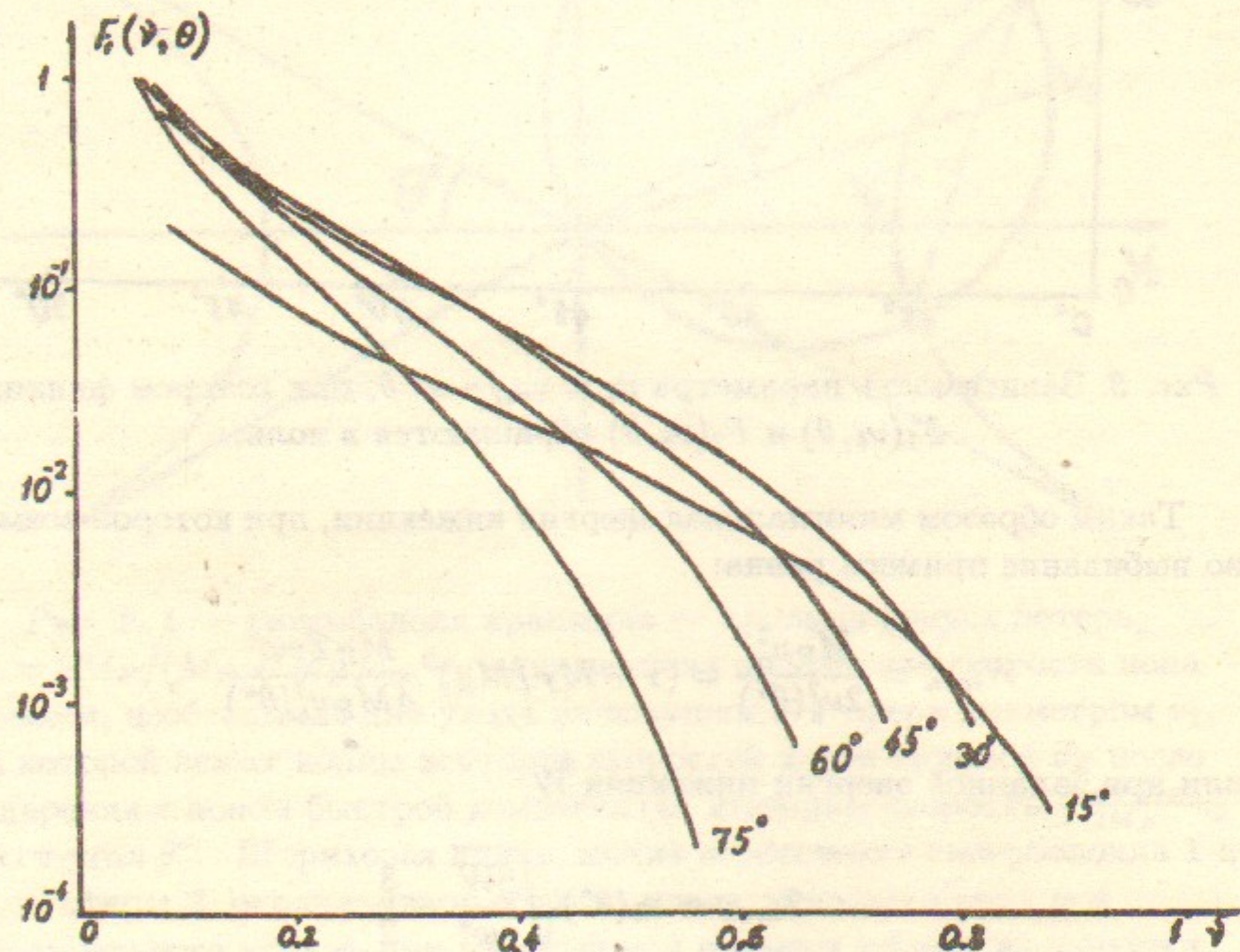


Рис. 4. Зависимости функции  $F_1$  от  $\nu$  при различных  $\theta$ .

## ОЦЕНКА ВРЕМЕНИ ЖИЗНИ ИОНОВ ПРИМЕСИ С $Z \gg 1$ С УЧЕТОМ ТОРМОЖЕНИЯ

При выполнении условия  $Z \gg 1$  и соответственно условий  $M_Z/M_F \gg 1$  и  $M_Z/M_c \gg 1$  ( $M_c$  — масса иона "холодной" компоненты) время торможения ионов примеси на ионах "холодной" плазмы много меньше времени торможения на электронах и временем рассеяния на ионах:

$$\begin{aligned} \frac{\tau_s^{Z/c}}{\tau_s^{Z/c}} &\geq \frac{3\sqrt{\pi}}{4} \left( \frac{M_c}{m_e} \right)^{1/2} \left( \frac{T_e}{W} \right)^{1/2} Z^3 \gg 1 , \\ \frac{\tau_\epsilon^{Z/c}}{\tau_s^{Z/c}} &= (1 + M_Z/M_c)x_c/4 \geq \frac{e\varphi^*}{4T_c} Z \gg 1 , \\ \frac{\tau_d^{Z/c}}{\tau_s^{Z/c}} &= \frac{1 + M_Z/M_c}{2 \left[ 1 - \frac{1}{2x_c} + \frac{\mu'(x_c)}{\mu(x_c)} \right]} \approx Z \gg 1 , \end{aligned} \quad (11)$$

где  $\tau_s^{Z/\beta}$ ,  $\tau_\epsilon^{Z/\beta}$ ,  $\tau_d^{Z/\beta}$  — времена релаксации ионов примеси на частицах сорта  $\beta$ , определенные в [4],  $x_c = \frac{M_c v_z^2}{2T_c}$ ,

$$\mu(x) = \frac{2}{\sqrt{\pi}} \int_0^x e^{-\xi} \sqrt{\xi} d\xi$$

интеграл Максвелла.

Поэтому можно записать уравнение движения иона примеси в следующем виде:

$$dl = -\cos \theta_Z \tau_s^{Z/c} dv_1 , \quad (12)$$

где  $l$  — расстояние вдоль магнитного поля, пройденное ионом примеси после соударения;  $v_1$  — текущая скорость иона примеси;

$$\tau_s^{Z/c}(v_1) = \frac{M_c (M_Z v_1^2 / 2)^{3/2}}{\pi \sqrt{2M_Z Z^2 e^4 \Lambda n_c \bar{\mu}}} ,$$

$\bar{\mu}$  — некоторое среднее значение интеграла Максвелла:

$$\mu \left( \frac{e\varphi^*}{T_e \nu_b^2(\theta^*)} \right) < \bar{\mu} < 1 .$$

Используя уравнение (12), можно вычислить длину части ловушки, в которой ион примеси, имеющий после столкновения скорость  $v_Z$  и питч-угол  $\theta_Z$ , уходит из ловушки. Отношение этой длины ко всей длине ловушки равно:

$$G_1(v_Z, \theta_Z) = \int_0^{\min[L, l(v_Z)]} \frac{dl(v_1)}{L} G(v_1, \theta_Z) = \\ = \frac{\lambda_Z}{L} \cos \theta_Z g \left( \frac{\min \left[ v_Z^4, \frac{L v_{Zm}^4}{\lambda_Z \cos \theta_Z} + v_b^4 \right] - v_b^4}{v_{ZM}^4} \right) , \quad (13)$$

где

$$g(x) = \begin{cases} x, & \text{при } x > 0, \\ 0, & \text{при } x \leq 0, \end{cases}$$

$v_b = \sqrt{\frac{2Ze\varphi^*}{M_Z(1-R^* \sin^2 \theta_Z)}}$  — минимальная скорость с которой ион примеси с питч-углом  $\theta_Z$  может уйти из ловушки,  $v_{Zm} = \frac{2M_F}{M_Z} v_0$  — максимальная скорость, которую может получить ион примеси,  $\lambda_Z = \frac{4}{\pi} \frac{M_c M_F^2}{M_Z^2} \frac{W^2}{Z^2 e^4 \Lambda n_c \bar{\mu}}$  — длина торможения иона примеси, имеющего максимальную скорость.

Очевидно, что  $G_1(v_Z, \theta_Z)$  переходит в  $G(v_Z, \theta_Z)$  при  $\lambda_Z/L \rightarrow \infty$ . Подставляя функцию  $G_1(v_Z, \theta_Z)$  вместо  $G(v_Z, \theta_Z)$  в выражение (4) для обратного времени жизни иона примеси, получим:

$$\frac{1}{\tau_Z} = \frac{3S_F}{\Lambda Z n_e} \left( \frac{M_F}{\pi m_e} \right)^{1/2} \left( \frac{M_F Z T_e}{M_Z e \varphi^*} \right)^{3/2} F_Z(\nu_0, \theta^*, \lambda_Z/L) , \quad (14)$$

где

$$F_Z(\nu_0, \theta^*, \xi) = \xi \nu_0^4 \int_{\nu_0}^1 d\nu \nu^2 \int_0^1 \frac{dx}{x^3} \int_0^\pi d\phi \cos \theta_Z \times$$

$$\times g \left( \min \left[ \frac{x^4}{\nu^4}, \frac{1}{\xi \nu_0^4 \cos \theta_Z} + \gamma_\theta \right] - \gamma_\theta \right) ,$$

$$\gamma_\theta = \frac{\sin^4 \theta^*}{(\cos^2 \theta_Z - \cos^2 \theta^*)^2} ,$$

$$\cos \theta_Z = x \cos \theta^* + \sqrt{1 - x^2} \sin \theta^* \cos \phi .$$

При  $\lambda_Z/L < 1$  функцию  $F_Z$  можно представить в более простом виде:

$$F_Z(\nu_0, \theta^*, \lambda_Z/L) = \frac{\lambda_Z}{L} \nu_0^4 F_2(\nu_0, \theta^*) . \quad (15)$$

Графики зависимости  $F_2$  от  $\nu_0$  при различных  $\theta^*$  приведены на рис. 5. Отметим также, что  $F_Z(\nu_0, \theta^*, \lambda_Z/L)$  переходит в  $F_1(\nu_0, \theta^*)$  при  $\lambda_Z/L \rightarrow \infty$ . Этим приближением можно пользоваться, когда длина торможения самых медленных ионов, способных преодолеть барьер,  $\lambda'_Z = \lambda_Z \nu_0^4 / \nu_b^4$  удовлетворяет условию  $\lambda'_Z \gg L$ .

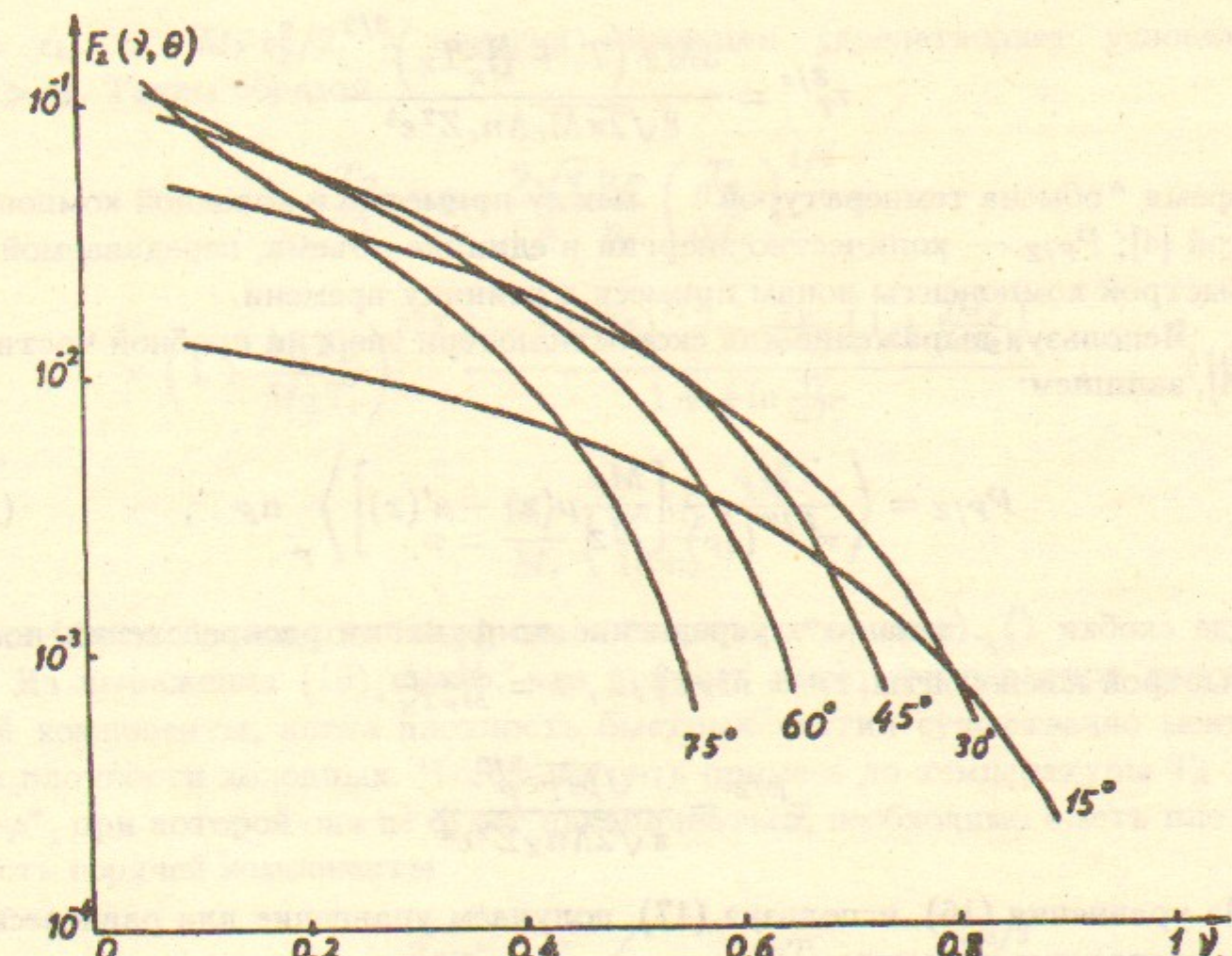


Рис. 5. Зависимости функции  $F_2$  от  $\nu$  при различных  $\theta$ .

## ОЦЕНКА НАГРЕВА ПРИМЕСИ В РЕЗУЛЬТАТЕ МНОГОКРАТНЫХ СТОЛКНОВЕНИЙ С ИОНАМИ БЫСТРОЙ КОМПОНЕНТЫ

Чтобы найти температуру примеси  $T_Z$ , запишем уравнение баланса энергии:

$$n_Z \frac{3}{2} \frac{T_Z - T_c}{\tau_T^{Z/c}} = P_{F/Z}, \quad (16)$$

где  $T_c$  — температура холодной компоненты;

$$\tau_T^{Z/c} = \frac{3M_Z \left( T_c + \frac{M_c}{M_Z} T_Z \right)^{3/2}}{8\sqrt{2\pi M_c} \Lambda n_c Z^2 e^4}$$

время "обмена температурой" между примесью и холодной компонентой [4];  $P_{F/Z}$  — количество энергии в единице объема, передаваемой от быстрой компоненты ионам примеси в единицу времени.

Используя выражение для скорости потери энергии пробной частицы [4], запишем:

$$P_{F/Z} = \left\langle \frac{2\epsilon_F}{\tau_1^{F/Z}(\epsilon_F)} \left[ \frac{M_F}{M_Z} \mu(x) - \mu'(x) \right] \right\rangle_F n_F, \quad (17)$$

где скобки  $\langle \rangle_F$  означают усреднение по функции распределения ионов быстрой компоненты,  $\epsilon_F = M_F v_F^2 / 2$ ,  $x = \frac{M_Z \epsilon_F}{M_F T_Z}$ ,

$$\tau_1^{F/Z} = \frac{\sqrt{M_F} \epsilon_F^{3/2}}{\pi \sqrt{2} \Lambda n_Z Z^2 e^4}.$$

Из уравнения (16), используя (17), получаем уравнение для равновесной температуры примеси:

$$\frac{T_Z}{T_c} = 1 + \sqrt{\frac{\pi M_Z T_c}{4 M_c T_Z}} \left( 1 + \frac{M_c T_Z}{M_Z T_c} \right)^{3/2} \left\langle \frac{\mu(x) - \frac{M_Z}{M_F} \mu'(x)}{x^{1/2}} \right\rangle_F \frac{n_F}{n_c}. \quad (18)$$

Выражение в угловых скобках существенно зависит от поведения функции распределения быстрой компоненты в области малых энергий, поэтому нельзя применять зависимость  $f_F(v) \sim v^{-3}$ , которой мы пользовались в предыдущих разделах. Для оценки выражения (18) примем, что  $f_F(v) = \text{const}$ , при  $v < v_k$  и убывает как  $f_F(v) \sim v^{-3}$ , при  $v \geq v_k$

(см., например, [5]), где  $v_k^3 = 3\sqrt{\pi} m_e / (4M_c)[2T_e/m_e]^{3/2}$ . Опуская члены  $\sim \exp(-M_Z v_k^2/2T_Z)$ , получим:

$$\begin{aligned} \left\langle \frac{\mu(x) - \frac{M_Z}{M_F} \mu'(x)}{x^{1/2}} \right\rangle_F &= \frac{1}{n_F} \int_0^{v_0} dv v^2 f(v) \left[ \frac{\mu(x) - \frac{M_Z}{M_F} \mu'(x)}{x^{1/2}} \right] \simeq \\ &\simeq \frac{9}{2} \left( \frac{M_F T_Z}{M_Z \epsilon_k} \right)^{1/2} \frac{1 - \frac{2}{3} \left( \frac{\epsilon_k}{W} \right)^{1/2} - \frac{T_Z}{3\epsilon_k} \left( 1 + \frac{3M_F}{2M_Z} \right)}{1 + \frac{2}{3} \ln \frac{W}{\epsilon_k}}, \end{aligned}$$

где  $\epsilon_k = M_F v_k^2 / 2$ , а энергия инжекции удовлетворяет условию  $W > \epsilon_k$ . Таким образом,

$$\begin{aligned} \frac{T_Z}{T_c} &= 1 + \frac{9\sqrt{\pi}}{4} \frac{n_F}{n_c} \left( \frac{T_c}{\alpha T_e} \right)^{1/2} \times \\ &\times \left( 1 + \frac{M_c T_Z}{M_Z T_c} \right)^{3/2} \frac{1 - \frac{2}{3} \left( \frac{\alpha T_e}{W} \right)^{1/2} - \frac{T_Z}{3\alpha T_e} \left( 1 + \frac{3M_F}{2M_Z} \right)}{1 + \frac{2}{3} \ln \frac{W}{\alpha T_e}}, \quad (19) \end{aligned}$$

где

$$\alpha = \frac{M_F}{M_c} \left( \frac{9\pi M_c}{16m_e} \right)^{1/3}$$

( $\alpha \simeq 44$  для "холодного" водорода и "горячего" трития).

Из выражения (19) видно, что примесь имеет температуру холодной компоненты, когда плотность быстрых частиц существенно меньше плотности холодных. Чтобы нагреть примесь до температуры  $T_Z \geq Ze\varphi^*$ , при которой она не будет накапливаться, необходимо иметь плотность горячей компоненты

$$\begin{aligned} n_F &\geq n_c \frac{4}{9\sqrt{\pi}} \frac{Ze\varphi^* - T_c}{\alpha T_e - Ze\varphi^*} \left( \frac{\alpha T_e}{T_e + Ze\varphi^* M_c / M_Z} \right)^{3/2} \times \\ &\times \frac{1 + \frac{2}{3} \ln \frac{W}{\alpha T_e}}{1 - \frac{2}{3} \left( \frac{\alpha T_e}{W} \right)^{1/2} - \frac{Ze\varphi^*}{3\alpha T_e} \left( 1 + \frac{3M_F}{2M_Z} \right)}. \quad (20) \end{aligned}$$

Например, для  $T_e \simeq T_c \simeq 0.01W$  получим  $n_F/n_c \geq 4Z$ . Выражение (20) является лишь оценкой, поскольку функция распределения примеси будет отличаться от максвелловской, когда ее характерная энергия "оторвется" от температуры холодной компоненты.

## ОБСУЖДЕНИЕ РЕЗУЛЬТАТОВ

Если условие (20) предыдущего раздела не выполняется, возникает вопрос: сколько примеси может поступать в ловушку, чтобы механизм ее удаления, описанный в разделах 2 и 3 был достаточно эффективным? Примем, как и в [3], за меру влияния примеси на процессы в плазме величину  $Z^2 n_Z / n_e$  и потребуем выполнения неравенства  $Z^2 n_Z / n_e < 1$ . Тогда, используя (14) и (15), можно получить ограничение на допустимое количество примеси  $S_Z$ , поступающее в единицу объема за единицу времени:

$$\frac{S_Z}{S_F} < \frac{3}{\Lambda} \left( \frac{M_F}{\pi m_e} \right)^{1/2} \left( \frac{Z M_F T_e}{M_Z e \varphi^*} \right)^{3/2} \frac{F_Z(\nu_0, \theta^*, \lambda_Z/L)}{Z^3 (1 + M_F/M_Z)} , \quad (21)$$

где

$$\begin{aligned} \lambda_Z &= \frac{1}{4\pi\Lambda\bar{\mu}} \frac{M_c}{M_Z} \frac{(e\varphi^*)^2}{e^4 n_c \nu_0^4} \equiv \frac{4M_c M_F^2 W^2}{\pi M_Z^3 Z^2 e^4 \Lambda n_c \bar{\mu}} , \\ \nu_0 &= \frac{v_m}{v_0} = \frac{1}{2} \left( 1 + \frac{M_F}{M_Z} \right) \sqrt{\frac{M_Z Z e \varphi^*}{M_F W}} . \end{aligned}$$

(Заметим, что при выполнении условий  $Z^2 n_Z < N_e$  и  $Z \gg 1$ , неравенства (11) для времен релаксаций будут выполняться даже с учетом рассеяния примеси самой на себе.)

Полагая, что  $M_F$  — масса трития, а  $M_c$  — масса водорода, и используя соотношение  $M_Z \simeq 2Z M_c$ , запишем ограничение (21) в более компактном виде:

$$\frac{S_Z}{S_F} < \frac{15}{Z^2(Z+1.5)} \left( \frac{T_e}{e\varphi^*} \right)^{3/2} F_Z(\nu_0, \theta^*, \lambda/L) , \quad (22)$$

$$\nu_0 \simeq (Z+1.5) \sqrt{\frac{e\varphi^*}{6W}} ,$$

$$\lambda_Z \simeq 460 \cdot \frac{W^2 [\text{кэВ}]}{Z^5 n_c [\text{см}^{-3}] \cdot 10^{-14}}$$

Например, взяв типичные значения параметров из [6]:  $\theta^* = 30^\circ$ ,  $W=100 \text{ кэВ}$ ,  $T_e = e\varphi^*=1 \text{ кэВ}$ ,  $L=10 \text{ м}$ ,  $n_c = 0.5 \cdot 10^{14} \text{ см}^{-3}$ , для углерода, водорода и кремния получим:

$$\begin{aligned} \lambda_6 &= 600 \text{ м}, & \lambda_8 &= 140 \text{ м}, & \lambda_{14} &= 8.5 \text{ м}, \\ S_6/S_F &< 3 \cdot 10^{-3}, & S_8/S_F &< 10^{-3}, & S_{14}/S_F &< 4 \cdot 10^{-5}. \end{aligned}$$

В заключение оценим, какой вклад в очистку плазмы от примесей может внести наличие  $\alpha$ -частиц термоядерного происхождения. Для этого воспользуемся результатом, полученным в [3], учитя торможение ионов примеси после соударения. Граница конуса потерь для иона, испытавшего соударение на расстоянии  $l$  от потенциального барьера определяется уравнением:

$$\epsilon_Z = Z e \varphi^* \sqrt{\frac{l}{\lambda'_Z \cos \theta_Z} + \frac{1}{(1 - R^* \sin^2 \theta_Z)^2}} ,$$

где  $\epsilon_Z$  — энергия иона примеси;  $\theta_Z$  — его питч-угол;  $\lambda'_Z = \nu_0^4 \lambda_Z$  — длина торможения иона с энергией  $Z e \varphi^*$ .

Поскольку в интересующих нас вариантах ловушки почти везде  $l \gg \lambda'_Z$ , граница конуса потерь имеет вид, показанный на рис. 6, что соответствует в обозначениях работы [3]:

$$R = 1/\sin^2 \theta^* , \quad R_A = 1 , \quad G(l) = e \varphi^* / T_e \sqrt{l/\lambda'_Z + 1} ,$$

$$\begin{aligned} \nu_Z(l) &= \frac{3\sqrt{2\pi}}{4G^{3/2}\Lambda} \frac{1}{1+Z/2} \sqrt{\frac{M_\alpha}{m_e}} \frac{F(1/R, \eta_l)}{R} \frac{S_\alpha}{n_e} , \\ \eta_l &= \eta(l/\lambda'_Z + 1)^{1/4} . \end{aligned} \quad (23)$$

Усреднив (23) по длине ловушки, получим

$$\frac{1}{\tau_{Z/\alpha}} \equiv \nu_Z(l) = \frac{3\sqrt{2\pi}}{4(e\varphi^*/T_e)^{3/2}\Lambda} \frac{1}{1+Z/2} \sqrt{\frac{M_\alpha}{m_e}} \frac{S_\alpha}{n_e} \sin^2 \theta^* F_\alpha(\sin^2 \theta^*, \eta, \lambda'_Z/L) ,$$

где

$$F_\alpha(\rho, \eta, \xi) = \xi \int_1^{1+1/\xi} \frac{dx}{x^{3/4}} F(\rho, \eta x^{1/4}) .$$

Источник  $\alpha$ -частиц связан с источником быстрых ионов  $S_F$  очевидным соотношением

$$S_\alpha = \gamma n_D < \sigma_{DT} v > S_F \tau_F ,$$

где  $n_D$  — плотность ионов мишени (если  $S_F$  — источник трития, то  $n_D$  — плотность дейтерия);  $\tau_F$  — время жизни быстрого иона ( $\tau_F \simeq \tau_{te}$ );  $\gamma \leq 2$  — коэффициент, учитывающий вклад  $\alpha$ -частиц, рожденных в

областях точек остановки. Используя это соотношение, сравним частоты "выбивания" примеси  $\alpha$ -частицами и быстрыми ионами:

$$\frac{\tau_Z}{\tau_{Z/\alpha}} \approx \frac{3\sqrt{\pi}}{16\Lambda} \gamma \sqrt{\frac{M_\alpha M_F}{m_e}} \frac{<\sigma_{DTv}> T_e^{3/2}}{e^4} \frac{F_\alpha \sin^2 \theta^*}{F_Z} \frac{n_D}{n_e}$$

Например, для типичных значений параметров:  $n_D/n_e = 1/3$ ,  $\theta^* = 30^\circ$ ,  $\gamma = 2$ ,  $<\sigma_{DTv}> = 10^{-15} \text{ см}^3/\text{сек}$ , для углерода, кислорода и кремния получим:

$$\tau_6/\tau_{6/\alpha} \approx 0.01, \quad \tau_8/\tau_{8/\alpha} \approx 0.01, \quad \tau_{14}/\tau_{14/\alpha} \approx 0.04.$$

На рис. 7 приведен график зависимости от  $Z$  допустимого отношения  $S_Z/S_F$ , связанного с "выбиванием" примеси ионами трития (кривая 2) и  $\alpha$ -частицами (кривая 3) для значений параметров ловушки, приведенных выше. Видно, что в области  $Z \leq 15$ , где механизм "очистки" работает достаточно эффективно, основную роль играет "выбивание" ионов примеси ионами быстрой компоненты.

Автор признателен Д.Д. Рютову за постановку задачи и обсуждение результатов.

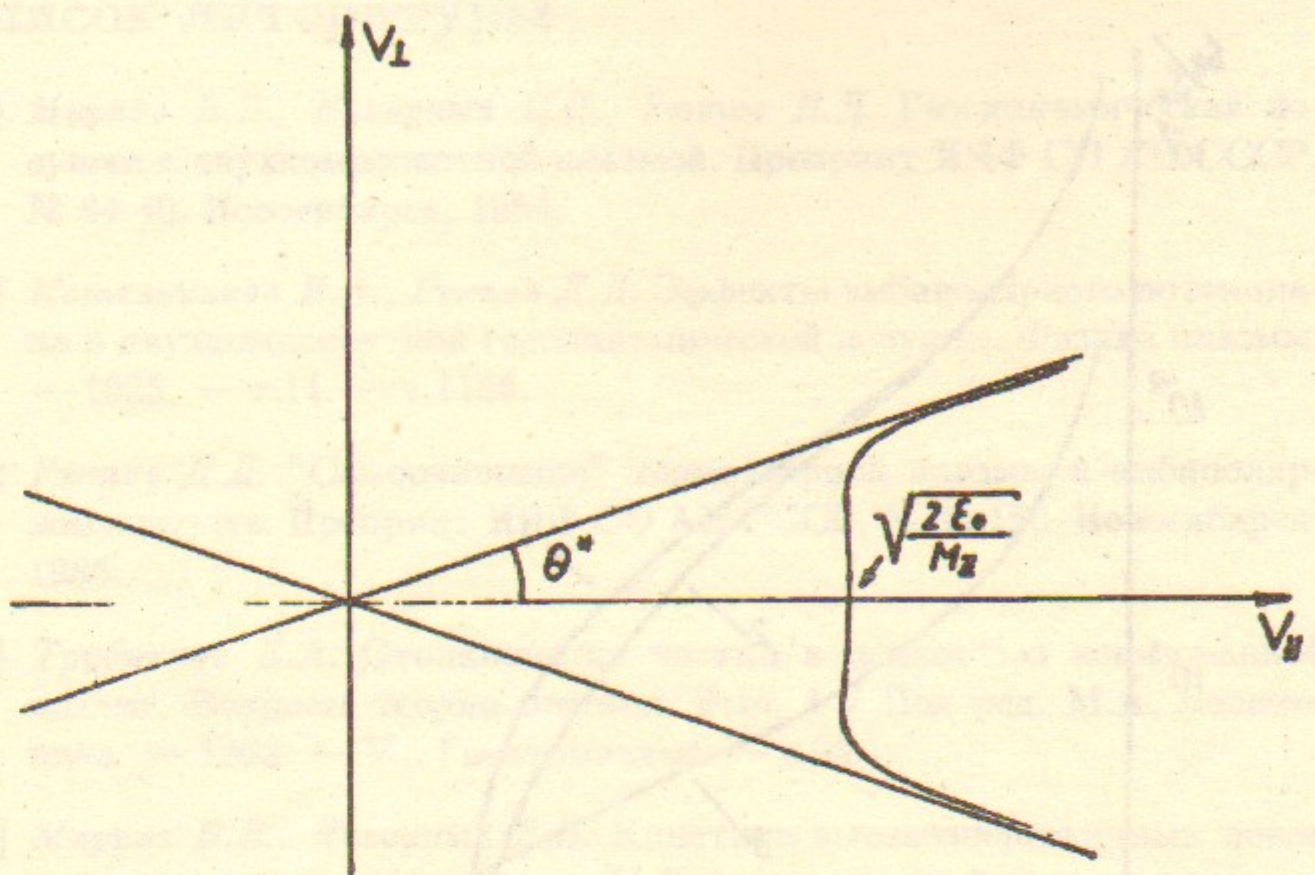


Рис. 6. Форма границы конуса потерь для иона примеси, "выбитого" на расстоянии  $l$  от потенциального барьера, определяемая уравнением  
 $\epsilon_Z \equiv M_Z(v_{||}^2 + v_{\perp}^2)/2 = Ze\varphi^* \sqrt{\frac{l}{\lambda'_Z \cos \theta_Z} + \frac{1}{(1 - R^* \sin^2 \theta_Z)^2}}, \sin^2 \theta_Z = \frac{v_{\perp}^2}{v_{||}^2 + v_{\perp}^2}, \quad l/\lambda'_Z \gg 1.$

Минимальная энергия, необходимая для пролета до потенциального барьера и преодоления его равна  $\epsilon_0 = Ze\varphi^* \sqrt{l/\lambda'_Z + 1}$ .

## Список литературы

- [1] Мирнов В.В., Нагорный В.П., Рютов Д.Д. Газодинамическая ловушка с двухкомпонентной плазмой. Препринт ИЯФ СО АН СССР, № 84-40. Новосибирск, 1984.
- [2] Котельников И.А., Рютов Д.Д. Эффекты амбиполярного потенциала в двухкомпонентной газодинамической ловушке. Физика плазмы. — 1985. — т.11. — с.1155.
- [3] Рютов Д.Д. "Самоочищение" термоядерной плазмы в амбиполярной ловушке. Препринт ИЯФ СО АН СССР, № 86-150. Новосибирск, 1986.
- [4] Трубников Б.А. Столкновения частиц в полностью ионизованной плазме. Вопросы теории плазмы. Вып. 1 / Под ред. М.А. Леонтьевича. — 1963. — М.: Госатомиздат. — с.98.
- [5] Мирнов В.В., Нагорный В.П. Кинетика высокогенергетических ионов в газодинамической ловушке. // Вопросы атомной науки и техники. Серия: Термоядерный синтез. — 1984. — т.3(16). — с.40.
- [6] Котельников И.А., Рютов Д.Д., Цидулко Ю.А., Катышев В.В., Комин А.В., Кривошеев В.М. Математическая модель источника нейтронов на основе газодинамической ловушки. Препринт ИЯФ СО АН СССР, № 90-105. Новосибирск, 1990.

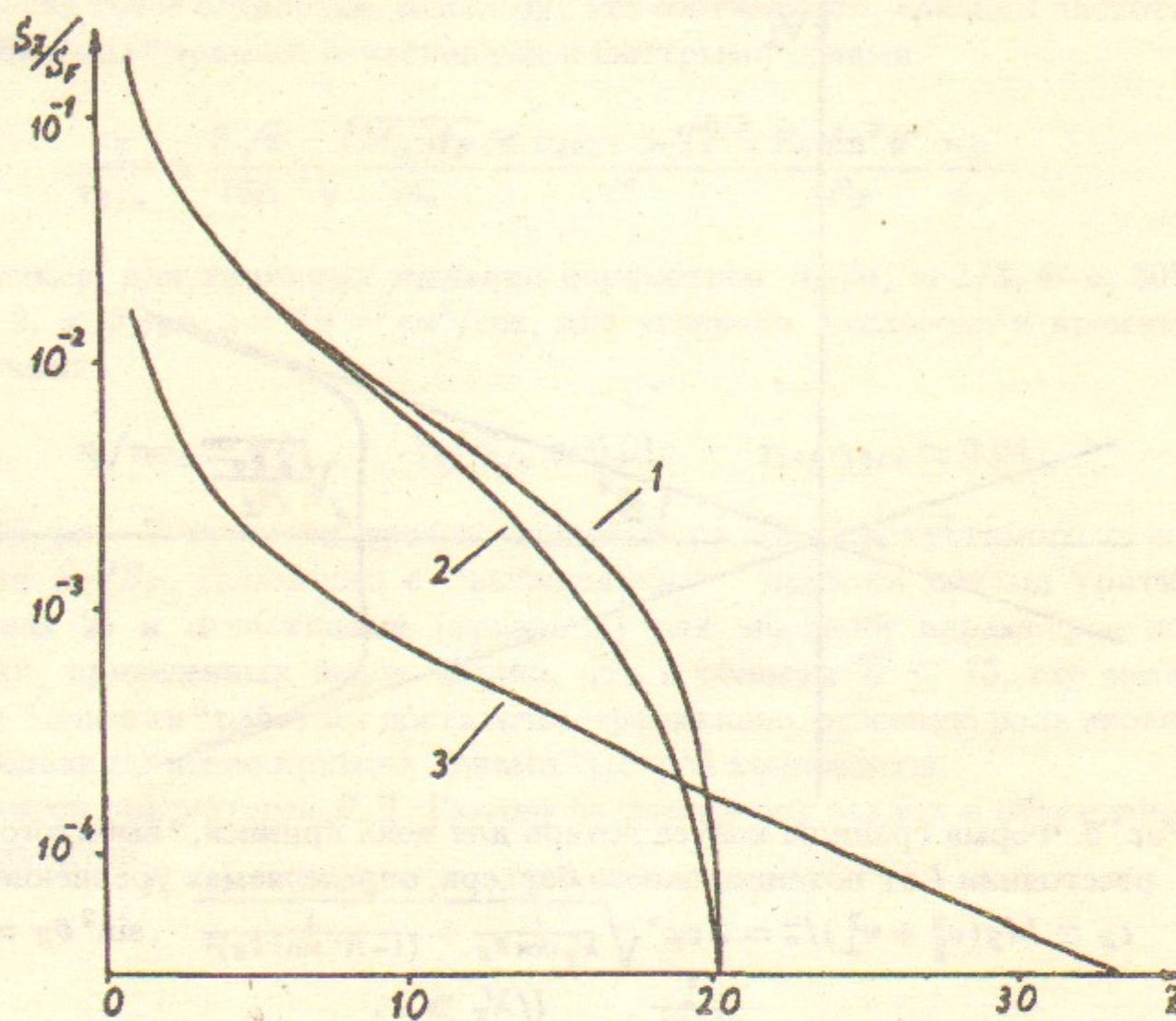


Рис. 7. Зависимости отношения допустимого тока примеси  $S_Z$  в ловушку к току трития  $S_F$  от заряда примеси  $Z$  для ловушки с параметрами, приведенными в тексте: 1 — без учета торможения об ионы холодной компоненты; 2 — с учетом торможения; 3 —  $S_Z/S_F$  определяемое выбыванием ионов  $\alpha$ -частицами.